

秘密★启用前

## 理科综合试卷

**注意事项：**

1. 答题前，考生务必用黑色碳素笔将自己的姓名、准考证号、考场号、座位号在答题卡上填写清楚。
2. 每小题选出答案后，用 2B 铅笔把答题卡上对应题目的答案标号涂黑。如需改动，用橡皮擦干净后，再选涂其他答案标号。在试题卷上作答无效。
3. 考试结束后，请将本试卷和答题卡一并交回。满分 300 分，考试用时 150 分钟。

以下数据可供解题时参考。

可能用到的相对原子质量：H—1 C—12 O—16 Cl—35.5 Cu—64 Zn—65 Sn—119

**一、选择题：**本题共 13 小题，每小题 6 分。在每小题给出的四个选项中，只有一项是符合题目要求的。

1. 下列有关人体细胞生命历程的叙述，错误的是
  - A. 在有丝分裂的细胞中，可能会出现 4 条 X 染色体
  - B. 有些激烈的细胞自噬，可能诱导细胞凋亡
  - C. 细胞衰老时细胞呼吸的速率减慢
  - D. 同一个体不同组织细胞内的 mRNA 完全不同
2. 研究发现在其他培养条件适宜的情况下，与正常供水相比，减少供水会导致某植物光合作用速率下降，下列叙述错误的是
  - A. 该植物产生  $O_2$  的速率会下降
  - B. 该植物固定  $CO_2$  的速率会升高
  - C. 适当降低光照强度，该植物光合作用速率可能不变
  - D. 该植物气孔开度可能会下降
3. 两种或两种以上亲缘关系甚远的生物，由于栖居于同一类型的环境之中，从而演化成具有适应环境的相似的形态特征或构造的现象，称为趋同。下列有关叙述合理的是
  - A. 推测这些物种将来一定会进化为同一个物种
  - B. 推测某些物种的形成可以不经过隔离
  - C. 说明适应是自然选择的结果
  - D. 说明适应是具有相对性的

理科综合 · 第 1 页（共 16 页）

4. 下列有关基因表达的叙述，错误的是

- A. 基因表达产物不参与蛋白质的合成
- B. 基因的选择性表达与基因表达的调控有关
- C. 染色体组蛋白发生甲基化会影响基因表达水平的高低
- D. 环境可能会通过对基因的修饰，调控基因的表达

5. 图 1 为某农村综合发展型生态工程的示意图，下列相关叙述正确的是

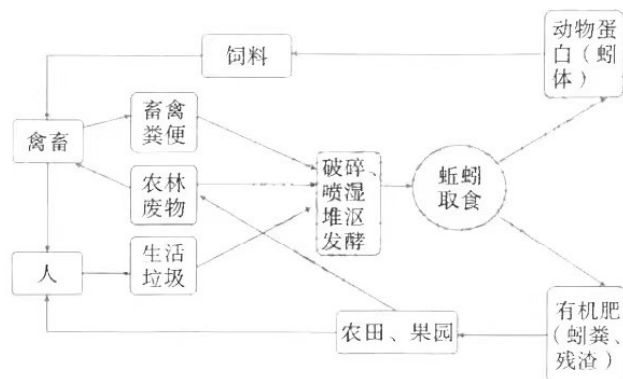


图 1

- A. 该区域内各种生物之间通过直接或间接地联系，共同构成一个生态系统
  - B. 有机肥中的能量可被该生态系统的生产者直接利用
  - C. 与当地森林生态系统相比，该人工生态系统自我调节能力更强
  - D. 图中各组分之间要有适当的比例，体现了生态工程的整体原理
6. 图 2 为蛋白质工程操作的基本思路，下列相关叙述正确的是



图 2

- A. 图中⑤、⑥过程分别是转录、翻译
  - B. 蛋白质工程的直接操作对象是蛋白质，不需要对基因进行操作
  - C. 根据蛋白质的氨基酸序列推测出的 mRNA 的碱基序列是唯一的
  - D. 蛋白质工程的目的是改造现有蛋白质或制造新的蛋白质，满足人类的需求
7. 化学与生产、生活息息相关，下列说法正确的是

- A. 陶瓷主要成分为  $\text{SiO}_2$  和  $\text{MgO}$
- B. 纤维素可以为运动员提供能量
- C. 古代鎏金工艺利用了电镀原理
- D. 制造阻燃或防火线缆的橡胶可由加聚反应合成

8. 某化合物 M 可用于生产抗菌、消炎药物，其结构简式如图 3 所示：

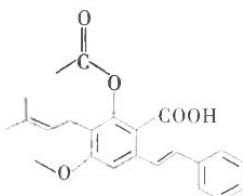


图 3

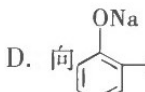
下列有关化合物 M 的说法错误的是

- A. 1mol M 最多能与 3mol NaOH 反应
- B. 分子中的碳原子有 2 种杂化方式
- C. 分子中所有碳原子不可能在同一平面内
- D. 分子中没有手性碳原子

9.  $N_A$  为阿伏加德罗常数的值，下列说法正确的是

- A. 1mol 基态 Al 原子中未成对电子的数目为  $1N_A$
- B. 标准状况下，2.24L Cl<sub>2</sub> 溶于水，转移电子数为  $0.1N_A$
- C. 常温下，1L 0.1mol·L<sup>-1</sup> 的氨水中含有 H<sup>+</sup> 的数目为  $10^{-13}N_A$
- D. 电解精炼铜时，若阴极得电子数目为  $2N_A$ ，则阳极质量减小 64g

10. 能正确表示下列反应的离子方程式为

- A. 酸性高锰酸钾溶液氧化 H<sub>2</sub>O<sub>2</sub>： $2MnO_4^- + 7H_2O_2 + 6H^+ \rightarrow 2Mn^{2+} + 6O_2 \uparrow + 10H_2O$
- B. 向 NH<sub>4</sub>Al(SO<sub>4</sub>)<sub>2</sub> 溶液中滴加少量 KOH 溶液： $Al^{3+} + 3OH^- \rightarrow Al(OH)_3 \downarrow$
- C. 用醋酸和淀粉 KI 溶液检验加碘盐中的 IO<sub>3</sub><sup>-</sup>： $IO_3^- + 5I^- + 6H^+ \rightarrow 3I_2 + 3H_2O$
- D. 向  溶液中通入足量 CO<sub>2</sub>： $\text{C}_6\text{H}_5\text{COO}^- + 2\text{CO}_2 + 2\text{H}_2\text{O} \rightarrow \text{C}_6\text{H}_5\text{COOH} + 2\text{HCO}_3^-$

11. R、W、X、Y、Z 为原子序数依次增大的短周期元素，分处于三个周期，只有一种金属元素。

基态 X 原子的电子总数是其最高能级电子数的 2 倍，且 X 的原子序数等于 R 与 W 的原子序数之和，Y 与 Z 形成的化合物溶于水呈中性。下列说法正确的是

- A. 电负性：Z>X>R
- B. 第一电离能：X>W>Y
- C. 简单氢化物的沸点：W>X>Z
- D. R、W、Z 能形成含离子键的化合物

12. 下列实验操作、现象及结论均正确的是

选项	操作	现象	结论
A	实验室将饱和食盐水滴在电石上，使生成的气体通入酸性高锰酸钾溶液	溶液褪色	有乙炔生成
B	常温下，分别测定饱和 $\text{Na}_2\text{CO}_3$ 溶液和饱和 $\text{CH}_3\text{COONa}$ 溶液的 pH	溶液的 pH 前者大于后者	$K_h(\text{CO}_3^{2-}) > K_h(\text{CH}_3\text{COO}^-)$
C	常温下，用 pH 计分别测定 1mol/L 和 0.1mol/L 的醋酸铵溶液的 pH	pH 都等于 7	醋酸铵溶液中水的电离程度与其浓度无关
D	将 0.1mol · L <sup>-1</sup> $\text{MgSO}_4$ 溶液滴入 NaOH 溶液至不再有沉淀产生，再滴加 0.1mol · L <sup>-1</sup> $\text{CuSO}_4$ 溶液	先有白色沉淀生成，后变为蓝色沉淀	$K_{sp}[\text{Mg(OH)}_2] > K_{sp}[\text{Cu(OH)}_2]$

13. 25℃时，向一定浓度的  $\text{Na}_2\text{C}_2\text{O}_4$  溶液中滴入稀硫酸，粒子浓度与混合溶液 pH 的变化关系如图 4 所示。 $\text{pY} = -\lg Y$ ，Y 表示  $\frac{c(\text{C}_2\text{O}_4^{2-})}{c(\text{HC}_2\text{O}_4^-)}$  或  $\frac{c(\text{HC}_2\text{O}_4^-)}{c(\text{H}_2\text{C}_2\text{O}_4)}$ 。下列叙述正确的是

- A. n 线代表的是  $\frac{c(\text{C}_2\text{O}_4^{2-})}{c(\text{HC}_2\text{O}_4^-)}$  与 pH 的关系
- B.  $\text{H}_2\text{C}_2\text{O}_4$  的  $K_{a2}$  的数量级为  $10^{-4}$
- C. pH=4.2 时， $c(\text{C}_2\text{O}_4^{2-})+2c(\text{H}_2\text{C}_2\text{O}_4) < 2c(\text{SO}_4^{2-})$
- D. 滴加稀硫酸过程中， $\frac{c^2(\text{HC}_2\text{O}_4^-)}{c(\text{H}_2\text{C}_2\text{O}_4) \cdot c(\text{C}_2\text{O}_4^{2-})}$  保持增大

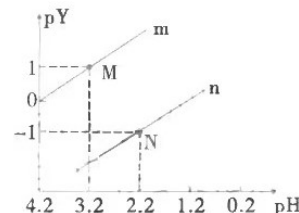


图 4

**二、选择题：**本题共 8 小题，每小题 6 分。在每小题给出的四个选项中，第 14~17 题只有一项符合题目要求；第 18~21 题有多项符合题目要求，全部选对的得 6 分，选对但不全的得 3 分，有选错的得 0 分。全科试题免费下载公众号《高中僧课堂》

14. 滑雪运动员由静止开始沿一斜坡匀加速下滑，经过斜坡中点时的速度为 v，则他通过斜坡后半段的平均速度为

- A.  $1.5v$
- B.  $\frac{\sqrt{2}+1}{2}v$
- C.  $2v$
- D.  $\frac{2\sqrt{2}+1}{2}v$



15. 如图 5 所示, 将三根完全相同的轻质细杆, 两两互成  $90^\circ$ , 连接到同一个顶点  $O$ , 另一端分别连接到竖直墙壁上的  $A$ 、 $B$ 、 $C$  三个点,  $BC$  连线沿水平方向,  $\triangle ABC$  是等边三角形,  $O$ 、 $A$ 、 $B$ 、 $C$  点处, 分别是四个可以向各个方向自由转动的轻质光滑铰链 (未画出)。在  $O$  点用细绳悬挂一个质量为  $m$  的重物, 则  $AO$  杆对墙壁的作用力为

A.  $\frac{mg}{\sqrt{3}}$

B.  $\frac{mg}{\sqrt{2}}$

C.  $\sqrt{\frac{2}{3}}mg$

D.  $\frac{mg}{\sqrt{6}}$

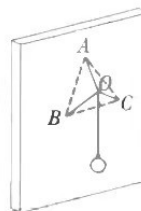
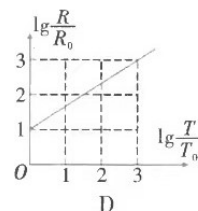
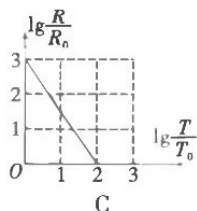
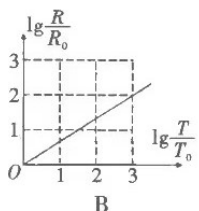
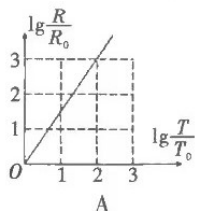


图 5

16. 木星周围的一些卫星围绕木星公转, 其轨道可近似看成圆轨道,  $T$  和  $R$  是卫星圆周运动的周期和轨道半径。 $T_0$  和  $R_0$  为其中某一颗卫星的周期和轨道半径。可以预计, 根据观测数据绘制的图像应该是下列图中的



17. 如图 6 所示, 一个平行于纸面的等腰直角三角形导线框, 水平向右匀速运动, 穿过宽度为  $d$  的匀强磁场区域, 三角形两直角边长度为  $2d$ , 线框中产生随时间变化的感应电流  $i$ , 下列图形正确的是

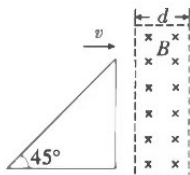
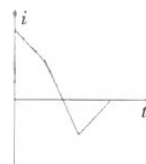
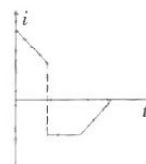
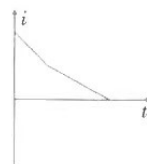
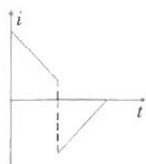


图 6



18. 如图 7 所示, 三条直径将一个圆等分为六个扇形, 三个端点分别为  $A$ 、 $B$ 、 $C$ , 将  $+q$ 、 $-q$ 、 $-q$  三个等量电荷固定在另外三个端点  $D$ 、 $E$ 、 $F$ , 以无穷远处为电势零点。则以下说法正确的是

- A.  $O$  点电场强度比  $A$  点电场强度大  
B.  $O$  点电场强度比  $A$  点电场强度小  
C.  $O$  点电势低于  $A$  点电势  
D.  $O$  点电势高于  $A$  点电势

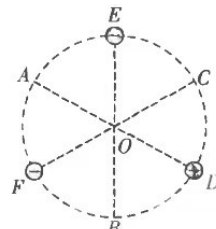


图 7

19. 如图 8 所示,  $abcd$  为  $N$  匝矩形线框, 可以围绕  $ad$  边匀速旋转, 角速度为  $\omega$ , 每匝面积为  $S$ 。

在  $ad$  连线下方、且在  $dc$  连线左侧的区域, 存在垂直于纸面向里的匀强磁场, 场强为  $B$ , 线框的总电阻为  $r$ , 两端连接到理想变压器, 对负载  $R$  供电。变压器初级线圈和次级线圈的匝数为  $n_1$  和  $n_2$ , ④为理想交流电流表, 不计一切摩擦, 则

- A. 电流表的示数大小为  $\frac{NBS\omega}{2\sqrt{2}(r+R)}$
- B. 调节  $R$  的大小, 当  $R = \frac{n_2^2}{n_1^2}r$  时,  $R$  的功率最大
- C. 若使  $R$  的电阻值减小, 电流表的示数将增大
- D. 若使线框角速度变为  $2\omega$ ,  $R$  的平均功率变为原来的 2 倍

20. 如图 9 所示, 一列沿  $x$  轴正方向传播的简谐横波, 振幅为 10cm, 波速为 0.5m/s, 在波的传播方向上两质点  $a$ 、 $b$  的平衡位置相距 1m (小于一个波长), 当质点  $a$  在波峰位置时, 质点  $b$  在  $x$  轴下方与  $x$  轴相距 5cm 的位置, 则

- A. 此波的周期可能为 4s
- B. 此波的周期可能为 6s
- C. 从此时刻起经过 3s,  $b$  点可能在波峰位置
- D. 从此时刻起经过 5s,  $b$  点可能在波谷位置



图 9

21. 如图 10 所示, 水平面上有一斜面体  $B$ , 底角  $\theta$  为  $30^\circ$ , 斜面顶端安装一轻质小滑轮  $P$ 。轻绳的一端固定在  $Q$  点, 并通过轻滑轮  $P$ , 连接到小球  $A$ 。绳子的  $QP$  段水平,  $PA$  段与斜面平行。现用一水平恒力 (图中未画出) 推着斜面体向左匀速运动, 速率为  $v$ 。已知小球的质量为  $m$ , 斜面体的质量为  $M$ , 重力加速度为  $g$ , 不计一切摩擦。以下说法正确的是

- A. 小球相对地面的速度大小为  $\sqrt{2-\sqrt{3}} v$
- B. 推力的功率为  $\frac{mgv}{2}$
- C. 推力的大小为  $\frac{\sqrt{3}}{2}mg$
- D. 地面对斜面体的支持力大于  $(m+M)g$

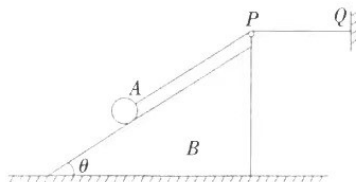


图 10

**三、非选择题：共 14 题，共 174 分。**

22. (5分) 小明想要验证小球在下摆过程中机械能守恒。如图11所示，将拉力传感器A安装在固定横梁上，下端用细线悬挂一个小球B，使小球偏离平衡位置至某处，用刻度尺测出悬挂点与球心之间的竖直距离H，然后释放小球，记录力传感器记录的最大值F。多次重复以上实验，记录数据。

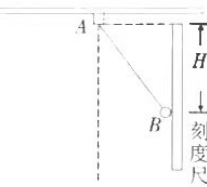
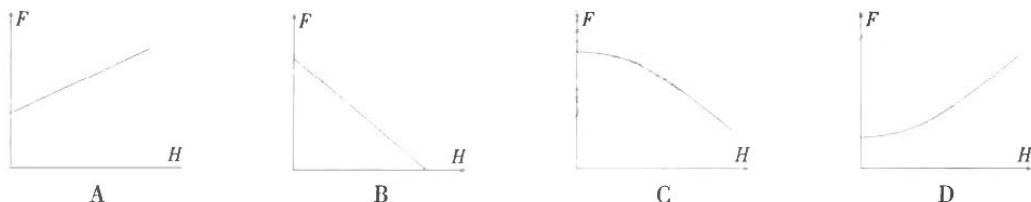


图11

然后以H为横坐标，F为纵坐标，绘制图像。已知当地重力加速度大小为g。

(1) 若机械能守恒定律成立，图像形态应该是下列当中的\_\_\_\_\_。

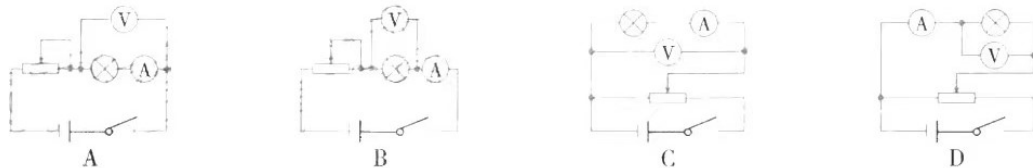


(2) 若图像与纵轴的交点坐标为(0, b)，由此可以算出小球的质量为\_\_\_\_\_ (用题中字母表示)。

23. (10分) 某实验小组想通过测绘I-U图像来研究规格为“2.5V，1.25W”的小灯泡在0~3V之间的“伏安特性”，可供使用的实验器材规格如下：

- A. 电压表V (量程0~3V，内阻约为 $3k\Omega$ )
- B. 电流表A (量程0~0.6A，内阻约为 $1\Omega$ )
- C. 滑动变阻器 $R_1$  (最大阻值约为 $5\Omega$ )
- D. 滑动变阻器 $R_2$  (最大阻值约为 $200\Omega$ )
- E. 学生电源 (电动势为6V)
- F. 开关和导线若干

(1) 要求实验过程电压从零开始变化，应该选择的电路原理图是\_\_\_\_\_；滑动变阻器应该选\_\_\_\_\_ (填器材前的序号)。



(2) 请根据原理图, 完成实物图(图12甲)连线。

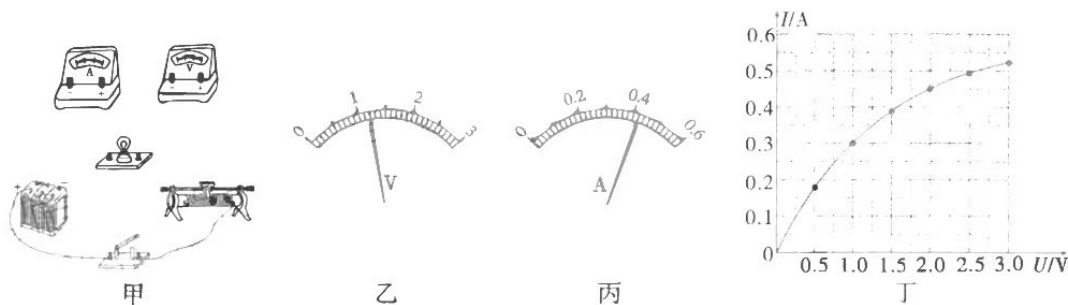


图 12

(3) 某一次实验过程中电压表和电流表读数如图乙、丙所示, 则此时小灯泡的电阻为  $\Omega$  (结果保留 2 位有效数字)。

(4) 如图丁所示是实验中描绘出的小灯泡的伏安特性曲线, 该实验小组将 2 个这样伏安特性相同的小灯泡, 并联后接在电动势为 2.5V、内阻为  $2.5\Omega$  的电源上, 则每个小灯泡实际工作的功率为  $W$  (结果保留 1 位有效数字)。

24. (12 分) 如图 13 所示, 两根足够长、电阻不计的光滑平行金属导轨, 固定在同一水平面上, 其间距为 1m, 左端通过导线连接一个  $R=3.5\Omega$  的定值电阻。整个导轨处在磁感应强度大小  $B=0.4T$  的匀强磁场中, 磁场方向竖直向下; 质量  $m=0.4kg$ 、长度  $L=1m$ 、电阻  $r=0.5\Omega$  的匀质金属杆垂直导轨放置, 且与导轨接触良好。在杆的中点施加一个垂直金属杆的水平拉力  $F$ , 使其从静止开始运动, 拉力  $F$  的功率  $P=4W$  保持不变, 当金属杆的速度达到最大时撤去拉力  $F$ 。求:

(1) 金属杆的最大速率  $v_m$ ;

(2) 从撤去拉力  $F$  到金属杆停下的整个过程, 通过金属杆的电荷量  $q$ 。

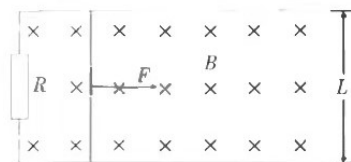


图 13

25. (15 分) 如图 14 所示, 电容为  $C$  的平行板电容器, 两极板  $A$  和  $B$  水平放置, 板间距离为  $d$ , 与电动势为  $E_0$ 、内阻不计的电源相连。两板间有一个导电小球, 半径远小于  $A$ 、 $B$  两板之间的距离。实验中观察到小球持续做上下往复运动, 每次小球与极板发生碰撞, 小球的速度立即变为 0, 带电状态也立即改变; 改变后, 小球所带电荷的电性与该极板相同, 电量为极板电量的  $k$  倍 ( $k \ll 1$ )。不计带电小球对极板间匀强电场的影响, 重力加速度为  $g$ 。求:

- (1) 能够发生题目所述现象, 小球质量的最大值  $M$ ;
- (2) 若已知小球质量为  $m$ , 在较长一段时间内, 电源的平均功率。

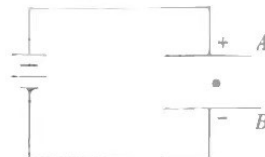


图 14

26. (20 分) 如图 15 所示, 两个带正电的光滑轻质小球  $A$ 、 $B$ , 质量均为  $m$ , 电荷量均为  $+q$ 。0 时刻,  $A$  在原点上方某处,  $B$  的坐标为  $(d, 0)$ , 两者有相同的水平速度  $v_0$ 。在  $x < d$  的空间有指向  $y$  轴负方向的匀强电场,  $x \geq d$  的空间有垂直于纸面向里的匀强磁场。当  $A$  球刚要进入磁场时, 恰好与  $B$  球发生碰撞, 碰撞时两小球球心的纵坐标相同, 碰撞过程极短且没有能量损失。碰撞后  $A$  球恰能通过坐标原点。(两轻质小球不计重力, 半径远小于  $d$ , 小球之间的库仑力不计)。求:

- (1) 磁感应强度  $B$  的大小;
- (2) 电场强度  $E$  的大小;
- (3)  $B$  小球到达  $y$  轴时的速率。

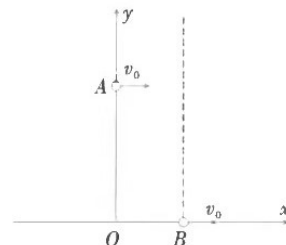


图 15

27. (15 分) 硫酸锌是一种重要的工业原料，广泛用于农业、化工、电镀等行业。云南兰坪铅锌矿是中国已知最大铅锌矿。工业上由铅锌矿尾矿得到的锌精矿渣（主要成分为 ZnO，还有 FeO、 $\text{Fe}_2\text{O}_3$ 、CuO、PbO 等）废料生产  $\text{ZnSO}_4 \cdot 7\text{H}_2\text{O}$  的流程如图 16 所示：



图 16

(1) 铅锌矿尾矿含泥高、品位低、选矿难度大，所以常采用螺旋溜槽脱泥、摇床富集、浮选的联合工艺流程获得氧化锌精矿渣，此工艺的目的是  
选用此“锌精矿渣”为原料而不选择氧化锌矿粉的原因是

(2) 溶浸时温度和时间对锌浸出率的影响如下表：

溶浸时间/h	溶浸温度/℃	溶浸出率/%
2	80	87
2	90	95
2	110	85.3
3	95	94.5
2.5	95	94

综合考虑，反应的最佳温度和时间是  
；该操作中不断通入高温水蒸气的目的是

(3) “反应 I”中，先加入 NaOH 调节 pH 至 5 后，再加入 NaClO，则“反应 I”中主要反应的离子方程式为

{已知： $K_{\text{sp}}[\text{Zn(OH)}_2] = 6.7 \times 10^{-17}$ ， $K_{\text{sp}}[\text{Cu(OH)}_2] = 2.2 \times 10^{-20}$ ， $K_{\text{sp}}[\text{Fe(OH)}_3] = 4.0 \times 10^{-38}$ ， $K_{\text{sp}}[\text{Fe(OH)}_2] = 8.0 \times 10^{-16}$ }

(4) “滤渣 C”的主要成分是 (填化学式)。

(5) 由“滤液”获得  $\text{ZnSO}_4 \cdot 7\text{H}_2\text{O}$  的操作是蒸发浓缩、干燥。

(6) 氧化锌，俗称锌白，是一种常用的化学添加剂，在半导体领域的液晶显示器、薄膜晶体管、发光二极管等产品中均有应用。一种 ZnO 晶体具有闪锌矿结构（与金刚石类似），其晶胞结构如图 17 所示：

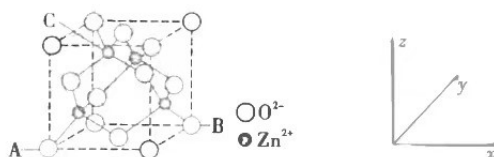


图 17

①该晶胞中氧离子的配位数为 \_\_\_\_\_。

②以晶胞参数为单位长度建立坐标系，表示晶胞中各原子的相对位置，称为原子坐标。A 点氧离子的坐标为 (0, 0, 0)、B 点氧离子的坐标为 (1, 1, 0)，则 C 点锌离子的坐标为 \_\_\_\_\_。

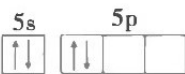
③若该晶胞密度为  $\rho \text{ g} \cdot \text{cm}^{-3}$ ， $N_A$  代表阿伏加德罗常数的值，则晶胞参数  $a$  为 \_\_\_\_\_ pm。

28. (14 分) 锡 (Sn) 常见的氯化物有  $\text{SnCl}_4$  和  $\text{SnCl}_2$ 。 $\text{SnCl}_4$  常温下为液体，沸点为  $114^\circ\text{C}$ ，遇水极易发生水解反应生成  $\text{SnO}_2 \cdot x\text{H}_2\text{O}$ ，是合成有机锡化合物的原料； $\text{SnCl}_2$  常温下为固体，沸点为  $623^\circ\text{C}$ ，具有还原性，可被空气中的氧气氧化。某化学实验小组制备  $\text{SnCl}_4$  的装置如图 18 所示（加热与夹持装置省略）：

图 18

回答下列问题：

(1) 下列叙述不正确的是 \_\_\_\_\_ (填序号)。

- A. 基态 Sn 原子的价电子排布图 (轨道表示式) 为 
- B.  $\text{SnCl}_4$  是分子晶体，其空间结构名称为正四面体形
- C.  $\text{SnCl}_4$  的沸点比  $\text{CCl}_4$  高，且易溶于  $\text{CCl}_4$
- D.  $\text{SnO}_2 \cdot x\text{H}_2\text{O}$  中三种元素的电负性大小顺序为 O>Sn>H

(2) 写出装置 A 中反应的离子方程式：\_\_\_\_\_。

理科综合 · 第 11 页 (共 16 页)

11

官方微信公众号：zizzsw  
官方网站：[www.zizzs.com](http://www.zizzs.com)

咨询热线：010-5601 9830  
微信客服：zizzs2018

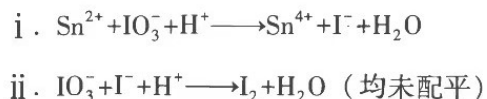
(3) 填写制取  $\text{SnCl}_4$  过程中的现象：待看到  
装置加热；可以通过 \_\_\_\_\_ 现象时，才能给 C 装置加热。现象判断 C 中的反应已经完成。

(4) 装置 E 的作用是 \_\_\_\_\_。

(5) 加热装置 C，锡熔化，与  $\text{Cl}_2$  反应，产物有  $\text{SnCl}_4$  和  $\text{SnCl}_2$ ，为了确认 C 中也有  $\text{SnCl}_2$  生成，可选用以下试剂 \_\_\_\_\_ (填序号) 检验。

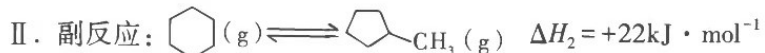
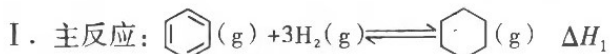
- a. 稀盐酸
- b. 酸性高锰酸钾溶液
- c. 加入有 KSCN 的  $\text{FeCl}_3$  溶液

(6) 经测定发现实验所得  $\text{SnCl}_4$  样品中含有少量的  $\text{SnCl}_2$  [ $M(\text{SnCl}_2)=190\text{ g} \cdot \text{mol}^{-1}$ ]，测定样品纯度的方案如下：取  $m_1$  g 样品溶于足量稀盐酸中，加入淀粉溶液作指示剂，用  $0.01000\text{ mol} \cdot \text{L}^{-1}$  碘酸钾标准溶液滴定至终点，三次平均消耗标准液  $V$  mL。滴定过程中先后发生的反应如下：



则  $\text{SnCl}_4$  样品的纯度为 \_\_\_\_\_；若滴定时间过长，会使测量结果 \_\_\_\_\_ (填“偏大”“偏小”或“无影响”)。

29. (14 分) 苯催化加氢制备环己烷是化工生产中的重要工艺，一定条件下，发生如下反应：



已知：

物质	 (g)	$\text{H}_2$ (g)	 (g)
燃烧热/ ( $\text{kJ} \cdot \text{mol}^{-1}$ )	3303	286	3938

(1) 环己烷的燃烧热为 \_\_\_\_\_， $\Delta H_1 =$  \_\_\_\_\_。

(2) 向恒容密闭容器中充入一定量的苯和不等量的  $\text{H}_2$  在催化剂的作用下分别发生上述反应，图 19 表示在 500K 和

600K 的温度下反应 I 中苯的平衡转化率与  $\frac{n(\text{H}_2)}{n(\text{苯})}$  的关系。

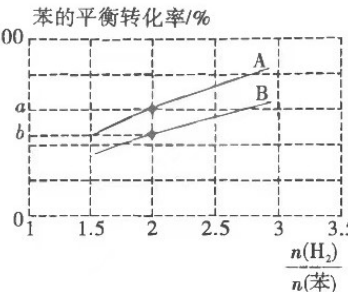


图 19

①当  $\frac{n(H_2)}{n(\text{苯})} = 3$  时，下列可判断反应达到平衡状态的是 (填序号)。

- a.  $v(\text{苯}) : v(H_2) = 1 : 3$
- b.  $\frac{n(H_2)}{n(\text{苯})}$  不再变化
- c. 环己烷浓度不再变化
- d. 体积不再变化

②500K 温度下苯的平衡转化率与  $\frac{n(H_2)}{n(\text{苯})}$  的关系对应图中曲线 (填“A”或“B”)，判断的理由是 \_\_\_\_\_。

③已知  $a=60\%$ ,  $b=46\%$ , 假设容器中只发生主反应，若起始压强为  $3p_0$ ，则 500K 温度下的  $K_p = \dots$ 。(列出计算式即可，用平衡分压代替平衡浓度计算)

(3) 氢原子和苯分子吸附在催化剂表面活性中心时，才能发生反应，机理如图 20 所示。当  $H_2$  中混有微量  $H_2S$  或  $CO$  等杂质时，会导致反应 I 的产率降低，推测其可能原因为 \_\_\_\_\_。

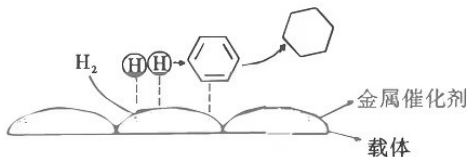


图 20

(4) 催化剂载体中的酸性中心能催化苯及环己烷的裂解。已知酸性中心可结合孤电子对，图 21 中可作为酸性中心的原子的标号是 (填“①”“②”或“③”)。

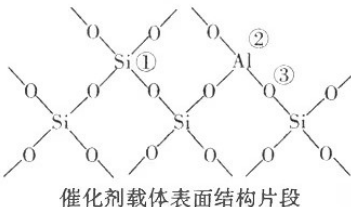


图 21

(5) 可利用苯和环己烷之间的可逆反应来实现脱氢和加氢，一定条件下，如图 22 所示装置可实现有机物的电化学储氢（忽略其他有机物）。电解过程中产生的气体 F 的体积为 L (标准状况)。

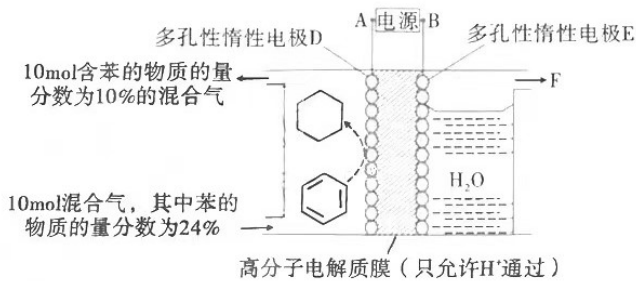


图 22

30. (15 分) 有机物 J 用于治疗抑郁症，其合成路线之一如图 23 所示：

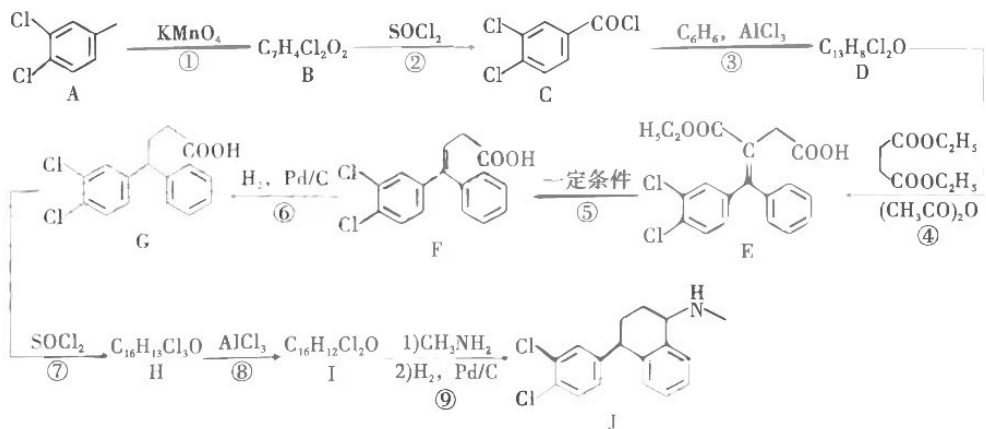
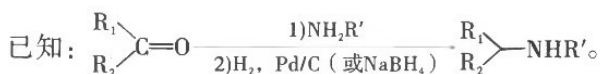
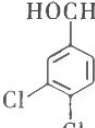


图 23



- (1) B 的化学名称为 \_\_\_\_\_。
- (2) 写出由 C 生成 D 反应的化学方程式：\_\_\_\_\_。
- (3) G 到 H 的反应类型为 \_\_\_\_\_。
- (4) I 的结构简式为 \_\_\_\_\_。
- (5) J 分子中有 \_\_\_\_\_ 个手性碳原子。
- (6) C 的芳香族同分异构体有 \_\_\_\_\_ 种。其中，能发生银镜反应，核磁共振氢谱有 2 组峰，且峰面积比为 2 : 1 的结构简式为 \_\_\_\_\_。

(7) 参照上述合成路线，设计以苯、 $\text{CH}_3\text{NH}_2$  和  为原料合成 J 的路线

(无机试剂任选)。已知： $\text{Ar}-\text{C}(\text{O})-\text{CH}_2-\text{CH}_2\text{COOH} + \text{Ar}'-\text{C}_6\text{H}_4-\text{Ar} \xrightarrow{\text{HF}} \text{Ar}-\text{C}(\text{O})-\text{CH}_2-\text{CH}_2-\text{C}_6\text{H}_4-\text{Ar}' + \text{H}_2\text{O}$  ( $\text{Ar}$  为芳基)。

31. (10 分) 真核细胞中 DNA 复制的速率一般为 50~100bp/s (bp 表示碱基对)。图 24 为果蝇核 DNA 的电镜照片，图中箭头所指示的泡状结构叫作 DNA 复制泡，是 DNA 上正在复制的部分。

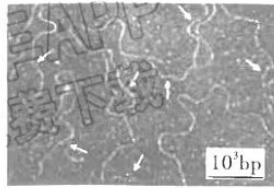


图 24

回答下列问题：

- (1) 图中 DNA 复制是在 \_\_\_\_\_ (填“分裂间期”或“分裂期”)，随着 \_\_\_\_\_ 的复制而完成的，是以 \_\_\_\_\_ 的方式进行的。
- (2) 据图分析可知，果蝇的 DNA 有 \_\_\_\_\_ (填“多”或“单”) 个复制起点。果蝇 DNA 复制的这一特点有利于 \_\_\_\_\_。
- (3) 通常一个 DNA 分子经复制能形成两个完全相同的 DNA 分子，这是因为 DNA 独特的 \_\_\_\_\_，为复制提供了精确的模板，通过 \_\_\_\_\_，保证了复制能够准确地进行。
32. (10 分) 某种昆虫的性别决定方式为 ZW 型，绿眼基因 (A) 对白眼基因 (a) 为显性，花翅基因 (B) 对黄翅基因 (b) 为显性。分析回答下列问题：
- (1) 基因 A 和 a 位于 Z 染色体上，基因 B 和 b 位于常染色体上，用黄翅白眼雌虫与纯合花翅绿眼雄虫杂交，杂交亲本的基因型为 \_\_\_\_\_，理论上  $F_1$  个体的表型为 \_\_\_\_\_， $F_1$  自由交配， $F_2$  中纯合花翅绿眼雄虫所占的比例为 \_\_\_\_\_。
- (2) 欲通过一次杂交实验来验证控制眼色的基因位于 Z 染色体上，可选择一只绿眼雌虫和表型为 \_\_\_\_\_ 的雄虫个体杂交，预期实验结果为 \_\_\_\_\_。
33. (10 分) 反射活动的发生与神经冲动的产生和传导密切相关。回答下列问题：
- (1) 反射弧中，能对传入信息进行分析和综合的结构是 \_\_\_\_\_，其分布在 \_\_\_\_\_ (填器官名称) 中。
- (2) 神经纤维受到刺激时，神经纤维膜上一些  $\text{Na}^+$  通道打开， $\text{Na}^+$  内流后会使更多的  $\text{Na}^+$  通道打开，从而使更多的  $\text{Na}^+$  内流，这种调节方式叫作 \_\_\_\_\_ 调节。
- (3) 静息电位的形成和维持主要与  $\text{K}^+$  顺浓度梯度的外流有关，若神经纤维外  $\text{K}^+$  的浓度升高 (膜外  $\text{K}^+$  浓度低于膜内)，则会导致静息电位 \_\_\_\_\_ (填“增大”或“减小”)。
- (4) 甘氨酸和乙酰胆碱是两种不同的神经递质，都储存在突触小体中的 \_\_\_\_\_ (填结构名称) 中。研究发现甘氨酸与突触后膜上的受体结合后会导致  $\text{Cl}^-$  内流，而乙酰胆碱与突触后膜上的受体结合后会导致  $\text{Na}^+$  内流，则不能引起突触后膜产生动作电位的神经递质是 \_\_\_\_\_，判断的理由是 \_\_\_\_\_。
34. (12 分) 植物的生命活动过程不仅受到激素调控，还受到光的调控。某同学对光和脱落酸 (ABA) 如何影响苋菜种子萌发进行了相关研究。回答下列问题：
- (1) ABA 的主要合成部位是 \_\_\_\_\_ (答出 1 点即可)，ABA 除了能维持种子休眠，还具有 \_\_\_\_\_ (答出 1 点即可) 作用。

(2) 为研究不同处理条件对苋菜种子萌发率的影响, 某同学进行了相关实验, 结果如表所示。

培养条件	ABA 浓度 (umol/L)		
	0	2	4
黑暗	100%	90%	36%
光照	100%	97%	52%

该同学进行实验时至少设置了 \_\_\_\_\_ 组实验, 实验结果的检测指标是 \_\_\_\_\_。

(3) 根据上表所示实验结果推测, 光照能 \_\_\_\_\_ (填“增强”或“减弱”) ABA 对种子萌发的抑制效果, 判断依据是 \_\_\_\_\_。

35. (12 分) 杜泊羊以其生长速度快、肉质好等优点, 成为受广大消费者喜欢的绵羊品种。科研工作者通过胚胎工程快速繁殖杜泊羊的流程如图 25 所示, 据图回答下列问题:

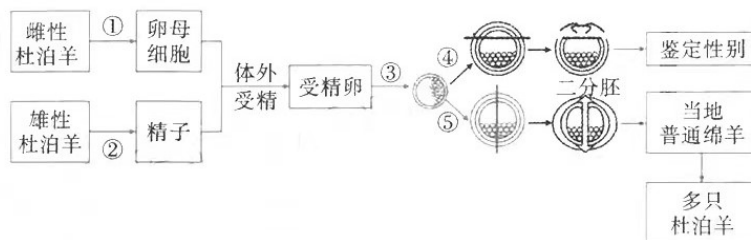


图 25

- (1) 为了获得更多的卵母细胞, 需用 \_\_\_\_\_ 激素对雌性杜泊羊进行超数排卵处理, 过程②中产生的精子需进行获能处理, 目的是 \_\_\_\_\_。
- (2) 在受精阶段, 保证一个精子和一个卵细胞结合的机制是 \_\_\_\_\_ (答出 1 点即可)。
- (3) 在实际胚胎工程操作中, 常以观察到两个极体或 \_\_\_\_\_ 作为受精的标志。
- (4) 图中移植的胚胎处于 \_\_\_\_\_ 期。为获得雌性杜泊羊, 胚胎移植前需鉴定 \_\_\_\_\_。为提高胚胎的利用率, 尽快获得数量较多的子代杜泊羊, 图中⑤过程使用 \_\_\_\_\_ 技术对胚胎进行处理, 处理时要注意将内细胞团 \_\_\_\_\_ 分割。

## 关于我们

自主选拔在线是致力于提供新高考生涯规划、强基计划、综合评价、三位一体、学科竞赛等政策资讯的升学服务平台。总部坐落于北京，旗下拥有网站（**网址：www.zizzs.com**）和微信公众平台等媒体矩阵，用户群体涵盖全国90%以上的重点中学师生及家长，在全国新高考、自主选拔领域首屈一指。  
如需第一时间获取相关资讯及备考指南，请关注**自主选拔在线**官方微信号：**zizzsw**。



微信搜一搜

自主选拔在线